

نانولوله‌های کربنی آلاسیده به عناصر سه ظرفیتی با استفاده از طیف‌سنجدی پس‌پراکندگی رامان

سید احمد بابانژاد^۱، رسول ملک‌فر^۱ و محمد رضا سید‌حسینی^۲

۱. گروه فیزیک اتمی مولکولی، بخش فیزیک، دانشگاه تربیت مدرس، تهران، صندوق پستی ۱۴۱۱۵-۱۷۵
 ۲. گروه فیزیک، دانشگاه علوم، دانشگاه پیام نور، واحد ساری

(دريافت مقاله: ۸۶/۸/۲۲ دريافت نسخه نهايى: ۸۷/۱۰/۲)

چكیده

در اين مقاله با استفاده از روش تخلية قوس الکتریکی (DC) و با استفاده از گاز استیلن به عنوان منبع کربن و گاز حامل نیتروژن، نانو لوله‌های کربنی آلاسیده به عنصر سه ظرفیتی بور تولید شده است. نمونه‌های نانو لوله‌های کربنی نشست یافته بر روی الکتروود کاتد را که دارای خاصیت آلاسیدگی ساختاری به عنصر بور بودند، جمع آوری و پس از خالص سازی با استفاده از طیف‌سنجدی پس‌پراکندگی رامان مورد مطالعه و بررسی قرار گرفته است. نتایج تحقیق مoid این حقیقت است که مولفه فرکانس بالای مد G در نانو لوله‌های کربنی آلاسیده به عنصر پذیرنده الکترون، بور، به سمت اعداد موجی بالاتر انتقال می‌یابد و مد فرکانس پایین G، که در اعداد موجی تقریبی 1540 cm^{-1} تا 1570 cm^{-1} ظاهر می‌شود و به نام مد BWF شناخته شده است، نشانگر فلزی بودن نانو لوله می‌باشد. مد D در نانو لوله‌های کربنی مذکور به واسطه حضور آلاسید، دارای قله طیف رامان تیز و شدت نسبی بالایی می‌باشد.

واژه‌های کلیدی: نانو لوله‌های کربنی، تخلیه قوس الکتریکی، طیف‌سنجدی رامان

۱. مقدمه

ميدانی، مولفه‌های ذخیره انرژی، نيمه هاديهاي با مقاومت اكسيداسيون بالا و با كاريبد در ساخت سراميكها، مواد حساس به نور، مواد هادي با وزن سبك و همچنین ترانزيستورهای دمای بالا فراهم می‌شود. آلاسید نانو لوله‌ها به دو صورت شکل می‌گيرد:

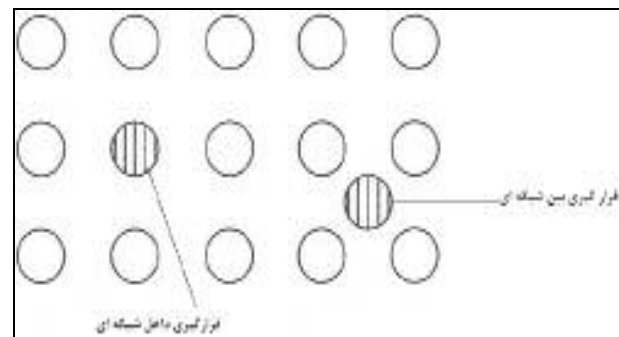
۱- آلاسید به طریق قرارگیری در شبکه و جانشینی که در آن اتمهای آلاسید یافته جایگزین اتمهای کربن می‌شوند.

۲- آلاسید به صورت قرارگیری و اضافه شدن اتمهای آلاسید یافته در مکانهای بین شبکه‌ای و بین اتمهای کربن. در شکل ۱ تصویر موارد ذکرشده نمایش داده شده است [۱ و ۲].

در نيمه هاديهاي حجم آلاسید به صورت جانشيني انجام می‌شود و اتم آلاسید یافته جایگزین اتمهای کربن شده و ساختار هيريدی sp^3 مشابه الماس تشکيل می‌شود. در نانو لوله‌ها،

از زمان کشف نانولوله‌های کربنی در سال ۱۹۹۱ تا کنون لوله‌های مذکور بهترین ساختار، كالبد و قالب برای ساخت سامانه‌های مختلف در فناوری نانو خصوصاً در ابزار مختلف الکترونيک مولکولي شناخته شده‌اند. نانو لوله‌های کربنی با توجه به ساختارشان به دو دسته نيمه هادي و فلزی تقسيم می‌شوند. نانولوله‌های کربنی با خاصیت نيمه هادي برای ديدوهای فلز- نيمه هادي يا ديدوهای شاتکي، ديدوهای پيوند PN و ترانزيستورهای ميدان مؤثر (FET) استفاده می‌شوند و نانو لوله‌های فلزی در ساخت ترانزيستورهای تک الکتروني تونلي مورد استفاده قرار می‌گيرند. با آلاسید نانو لوله‌ها به عناصر سه و پنج ظرفیتی با ساختار CN_x و CB_x امكان ساخت ترانزيستورهای در ابعاد نانو، پلیمرهای هادي و تجهیزات گسیل

و یک ممان دو قطبی الکتریکی در امتداد محور لوله جهت یابی می‌شود که بزرگتر از حالت نانو لوله بی‌آلایش است. ممان دوقطبی ایجاد شده، از فقدان تقارن آینه‌ای در ساختار نانولوله ناشی می‌شود و بردار قطبی غیر صفر باعث انتقال الکترونها به محل تقارن می‌شود و این امر باعث می‌شود که تعدادی تراز حد وسط (میانی) در ساختار نواری نانولوله ایجاد شود.



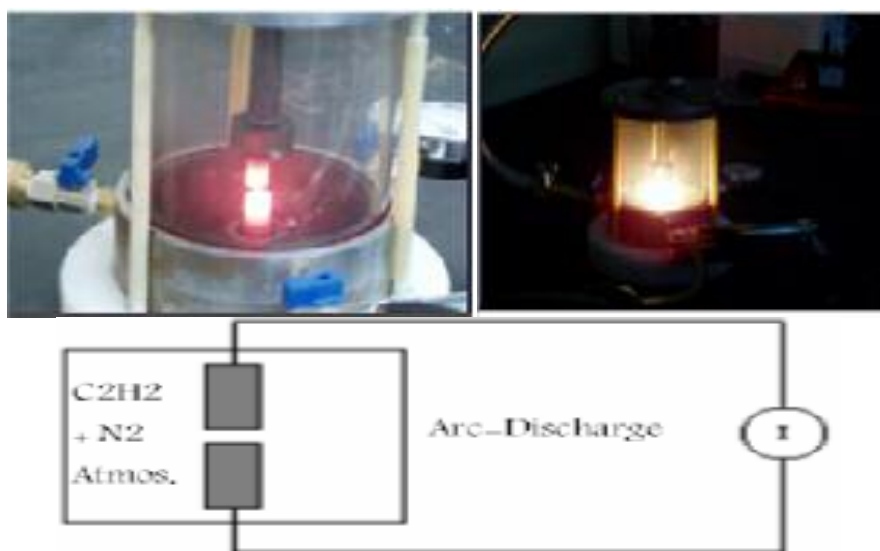
شکل ۱. نمایش سازو کار و قرارگیری آلایش اتمهای بور در داخل و بین شبکه ساختار نانولوله کربنی.

۲. آزمایش سامانه تهیه نانولوله‌های کربنی

در این مطالعه برای آلایش نانو لوله‌های کربنی به عنصر بور، به عنوان نماینده عناصر گروه III، از روش فرآیند تخلیه قوس الکتریکی استفاده شد. برای این موضوع از یک منبع تغذیه برق مستقیم (DC) که با ولتاژ ۲۰ تا ۲۵ ولت و جریان ۱۰ تا ۲۰۰ آمپر کار می‌کند استفاده شده است. منبع تغذیه به یک واکنشگر (راكتور) که به شکل استوانه با مقطعه دایروی که دور تا دور مجموعه از یک محفظه شیشه‌ای برای رویت فرآیند واکنش تشکیل شده است، متصل می‌باشد. محفظه شیشه‌ای روی یک صفحه فلزی که ثابت است، قرار دارد و دارای سه دریچه مجزا است. یکی از دریچه‌های مذکور برای ورود گاز جهت انجام واکنش، دومی مجرای خروجی که با اتصال به پمپ خلاء برای خروج گازهای زائد واکنش و مجرای سوم که به فشارسنج متصل است برای اندازه‌گیری فشار جو داخل سامانه استفاده می‌شود. داخل اتاق واکنش، روی صفحه فلزی امکان نصب الکترود آند وجود دارد که از طریق صفحه فلزی به قطب مثبت منبع تغذیه وصل می‌شود. صفحه فلزی نصب شده در قسمت بالای محفظه شیشه‌ای به گونه‌ای طراحی شده است که دارای محور متحرک بوده و توانایی حرکت در جهت قائم را دارد و الکترود کاتد بر روی آن نصب می‌شود. الکترود کاتد از طریق صفحه فلزی بالایی به قطب منفی منبع تغذیه وصل می‌شود.

در شکل ۲ شمایی از واکنشگر تخلیه قوس الکتریکی مورد استفاده در این تحقیق به همراه تصاویری از سامانه مذکور در طی کار نشان داده شده است. الکترود آند از میله گرافیتی با

جایگزینی اتم آلایش یافته با ایجاد ساختار پیوندی sp^2 مشابه گرافیت انجام می‌پذیرد. در فرایند آلایش، اتمهای گروه سوم جدول تناوبی به عنوان پذیرنده الکtron و اتمهای گروه پنجم جدول تناوبی به عنوان دهنده الکtron عمل می‌کنند. سازوکار آلایش به روش دوم از اهمیت بیشتری برخوردار است اما احتمال سازوکار آلایش به روش اول بیشتر می‌باشد. این موضوع به علت در معرض بودن سطح نانو لوله با اتمهای آلایش یافته می‌باشد و موید این حقیقت است که اتمهای آلایش رابطه ترازهای مولکولی HOMO-LUMO از اتمهای آلاینده و تراز فرمی از نانولوله، خاصیت الکtron دهنده یا پذیرنده گی الکtron اتمهای آلاینده را مشخص می‌کند و وضعیت عناصر در جدول تناوبی مهم نمی‌باشد. موادی که تراز LUMO عمیق دارند به عنوان پذیرنده و موادی که تراز HOMO دارند به عنوان دهنده الکtron عمل می‌کنند. ترکیباتی نظیر K_2O ، Br_2 ، I_2 ، NO_2 و مواد مرکبی نظیر NH_3 به عنوان دهنده الکtron محسوب می‌شوند [۱]. در صورت آلایش نانو لوله‌ها به عناصر دهنده الکtron، تراز فرمی به سمت انرژیهای بالاتر، و در حالت آلایش به اتمهای پذیرنده الکtron تراز فرمی به سمت انرژیهای پائیتر انتقال می‌یابد. در نانو الکترونیک آلایش نانولوله‌ها، باعث تغییر ولتاژ آستانه شده و امکان تشکیل ترانزیستور تک الکtronی NTFET فراهم می‌شود. از نتایج آلایش، انتقال بار الکتریکی و در نتیجه نمایان شدن رفتار قطبی در حلقه‌های پیوندی می‌باشد



شکل ۲. شمایی از واکنشگر تخلیه قوس الکتریکی و تصاویری از سامانه ساخته شده در طی کار.

الکلهای مختلف و در نهایت با آب دو بار تقطیر شده امکان پذیر است. پس از قرار دادن الکتروودها در اتاقک واکنشگر و برقراری اتصالات الکتریکی و نصب تجهیزات سامانه، اتاقک واکنشگر توسط پمپ خلاء تا حدود 5% تور تخلیه شد و سپس با برقرار نمودن جریان گاز C_2H_2 با شار 20 sccm (سانتیمتر مکعب در هر دقیقه) به ورودی اتاقک واکنشگر، سامانه برای انجام آزمایش آماده شد. با روشن نمودن منع تغذیه ابتدا جریان را روی 100 mA تنظیم کرده و با نزدیک نمودن الکتروود آند به الکتروود کاتد در فاصله‌ای حدود 1 mm نسبت به برقراری قوس تخلیه الکتریکی اقدام گردید. با تغییر جریان از 100 mA تا 200 mA ، نمونه‌های نشست یافته در الکتروود کاتد مشاهده شدند. با تغییر جریان و تغییر فلوئی گاز C_2H_2 مقادیر نشست یافته تغییر کردند. قابل ذکر است که در طی آزمایش پمپ خلاء به اتاقک وصل بود و گازهای واکنش را از محفظه خارج می‌کرد. نمونه‌های نشست یافته روی الکتروود کاتد برای انجام عملیات خالص‌سازی جمع آوری و به مدت 18 ساعت در اسید بوریک حل شدند و فرآیند خالص‌سازی برای زدودن لایه‌های بی شکل کربن و یا ناخالصیهای نشست یافته روی نمونه انجام شد. این فرآیند موجب افزایش کیفیت نمونه گردید که پس از عبور محلول از صافی، نمونه با آب دوبار تقطیر شده شستشو شد و با

طول 3 cm و قطر $2/4\text{ mm}$ و الکتروود کاتد از میله گرافیتی با طول 3 cm و قطر $2/5\text{ mm}$ تشکیل شده است.

۳. تهیه نانولوله‌های کربنی آلاییده به عنصر بور

برای تولید و ساخت نانولوله‌های کربنی آلاییده به عنصر بور و بدون استفاده از کاتالیست به روش تخلیه قوس الکتریکی، ابتدا با استفاده از متة حفره‌ای به قطر $2/1\text{ mm}$ و به عمق دو سوم طول الکتروود، در میله گرافیتی آند ایجاد گردید. سپس حفره ایجاد شده توسط خمیر پودرهای کربن و عنصر بور پر شد. نسبت وزنی پودر کربن و پودر بور به صورت $C/B = 2/1$ است. این نسبت وزنی براساس تجربه و آزمایش برای جریانهای کاربردی بین 80 mA تا 200 mA امپر به کار گرفته شده است. برای جریانهای کمتر از 80 mA امپر این نسبت تجربی به صورت برابر تعريف می‌شود. ابتدا با توجه به نسبت وزنی ذکر شده پودر کربن و پودر بور توزین شدند. سپس با استفاده از الکل اتانول کاملاً مواد مذکور باهم ترکیب شد و به صورت خمیر درآمد. سرانجام خمیر تهیه شده را در حفره ایجاد شده در آند قرار داده تا کاملاً حفره پر شود. حتی الامکان می‌بایست از ترکیب ناخالصیهای دیگر در خمیر تهیه شده جلوگیری شود که این امر به صورت شستن ظروف و وسایل مورد استفاده، با

با جایگذاری می‌توان نتیجه‌گیری نمود که $\delta = 30$ و از آنجا $FWHM = 70/5 \text{ cm}^{-1}$ است. این مقدار در مقایسه با پهنه‌ای نوار در نیمه بیشینه در حالت نانولوله کربنی غیرآلایده که در بازه مقداری $cm^{-1} 30 - 20$ تغییر می‌کند [۳]، نشان دهنده این موضوع است که در نانولوله‌های کربنی آلایده به بور پهنه‌ای نوار گستره‌تر شده است. نوار G در گرافیت در برگیرنده یک مد فونون اپتیکی بین دو اتم کربن در سلول واحد می‌باشد. این موضوع در تضاد با نوار G طیف رامان گرافیت است که یک قله لورنتزی در حوالی $cm^{-1} 1582$ مربوط به نوار ارتعاشی مماسی از اتمهای کربن را دارا می‌باشد. نوار G در نانولوله‌های کربنی آلایشی از دو مولفه تشکیل شده است که مربوط به تقید بردار موجی فونون در امتداد جهت بردار محیطی است.

معمولًا عدد موجی نوار G برای توصیف قطر نانولوله و همچنین برای تشخیص خاصیت فلزی و نیمه‌هادی بودن نانولوله استفاده می‌شود. نوار G شامل دو مولفه است یک قله در عدد موجی $cm^{-1} 1590$ به نام نوار G^+ ، و قله دیگر در حوالی $cm^{-1} 1570$ به نام نوار G^- که به ترتیب به مدهای فرکانس بالا و پایین معروفند. شکل ظاهری نوار G^+ مربوط به ارتعاشات اتمهای کربن در امتداد محور لوله و فرکانس آن G^+ به انتقال بار از آلایش اضافه شده به نانولوله حساس می‌باشد. در حالت آلایش به اتمهای پذیرنده الکترون، G^+ به سمت فرکانس‌های بالاتر و در حالت آلایش به اتمهای دهنده الکترون، G^- به سمت فرکانس‌های پاییتر منتقل می‌شود. این حالت به این خاطر اتفاق می‌افتد که اتمهای دهنده الکtron با دادن الکترون باعث سست شدن پیوند C-C می‌شوند و انتقال طیف آنها به فرکانس‌های پاییتر طبیعی به نظر می‌رسد. اتمهای گیرنده الکترون باعث قویتر شدن پیوند C-C می‌شوند و انتقال طیف آنها به فرکانس‌های بالاتر طبیعی می‌باشد. شکل ظاهری نوار G^- به صورت مشابه، مربوط به ارتعاشات اتم کربن در امتداد جهت بردار محیطی از CNT است و شکل خطی آن به مقدار زیادی به اینکه آیا نانولوله فلزی (-BWF, Breit-Wigner) و یا نیمه‌هادی است حساس است. در شکل ۳

عبور مجدد از صافی، نمونه تخلیص یافته کوره در معرض هوا و در دمای ۴۰۰ تا ۴۵۰ درجه سانتیگراد به مدت ۴ ساعت قرار داده شدند. نمونه‌های به دست آمده در شرایط مختلف تولید و جهت انجام فرآیند طیف سنجی پس پراکنده رامان مورد استفاده قرار گرفتند. سامانه طیف سنج رامان (گروه اتمی مولکولی، بخش فیزیک دانشگاه تربیت مدرس) ساخت کارخانه Thermo Nicolet می‌باشد و از نوع پس پراکنده هستند. در سامانه مذکور همانگ دوم لیزر حالت جامد Nd:YLF در طول موج 532 nm به عنوان فرکانس سامانه لیزری استفاده می‌شود و طیفهای رامان با قدرت تغییریکی cm^{-1} ثبت گردیده‌اند.

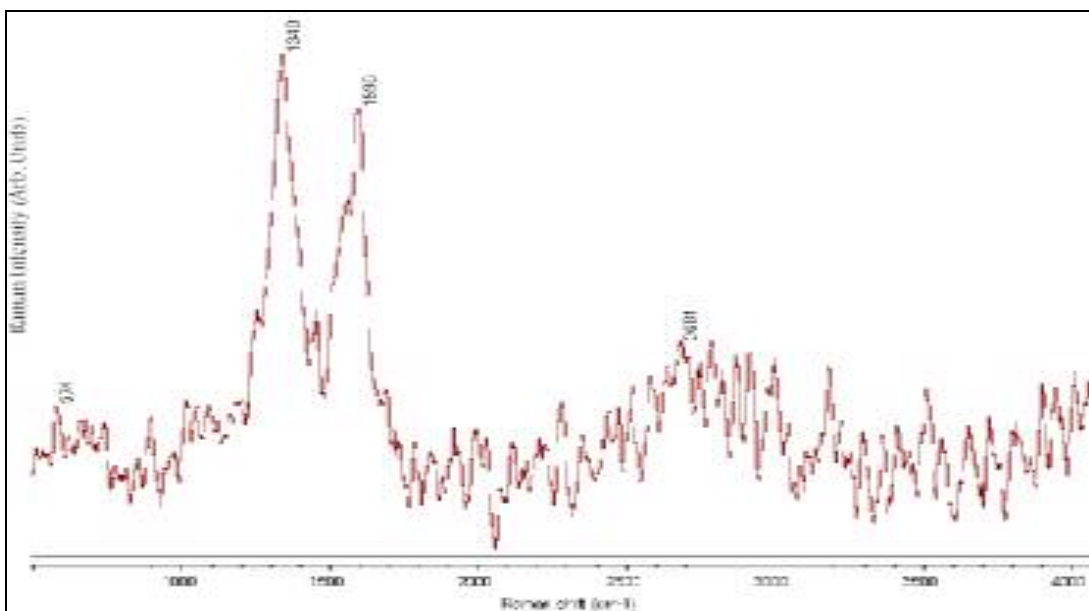
۴. طیف رامان نانولوله‌های کربنی آلایده به بور

در شکل ۳ یک طیف نوعی از طیفهای ضبط شده نمونه به دست آمده از نانولوله‌های کربنی آلایده به بور نمایش داده شده است. در طیف نشان داده شده که مربوط به نمونه‌ای می‌باشد که فرآیند خالص سازی دوبار بر آن انجام شده است، یک نوار قوی در عدد موجی $cm^{-1} 1596$ به عنوان نوار G نامیده می‌شود، مشاهده می‌شود که در مقایسه با نوار G در نانولوله‌های غیرآلایشی که در این آزمایشگاه تهیه گردیده‌اند و در حدود عدد موجی $cm^{-1} 1582$ ظاهر می‌شوند، به اعداد موجی بالاتر انتقال یافته است. همچنین پهنه‌ای نوار G در نیمه بیشینه (FWHM) نسبت به پهنه‌ای نوار G در نانولوله‌ای کربنی غیرآلایده کمی گستره‌تر شده است. برای محاسبه پهنه‌ای نوار در نیمه بیشینه از فرمول پاشندگی گوسین به صورت زیراستفاده شده است.

$$\delta = \sqrt{\frac{1}{N} \sum_{i=1}^N (X_i - \bar{X})^2},$$

$$FWHM = 2.35 \delta,$$

در فرمول پاشندگی گوسین X_1 و X_2 مختصات دو نقطه در نیمه بیشینه می‌باشند که در برگیرنده پهنه‌ای نوار در محل مذکور است. \bar{X} نیز عدد موجی مرکز نوار است که سامانه طیفسنج مشخص می‌نماید. با توجه به طیف مورد بررسی داریم: $X_1 = 1490 \text{ cm}^{-1}$ و $X_2 = 1550 \text{ cm}^{-1}$ و $\bar{X} = 1520 \text{ cm}^{-1}$.



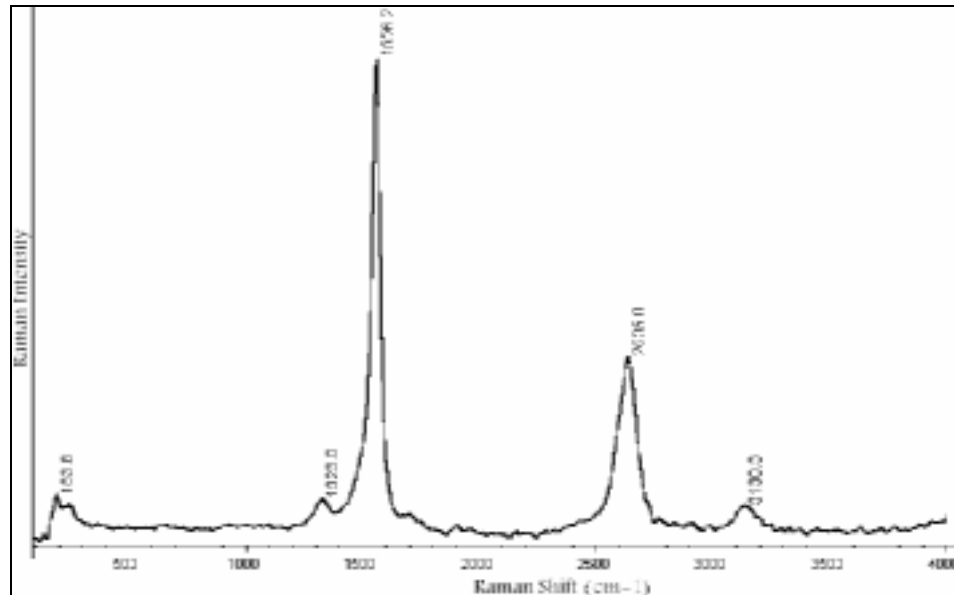
شکل ۳. طیف رامان نanolوله کربنی آلاییده به عنصر بور در جریان ۲۰۰۰ آمپر ثبت شده بعد از انجام مراحل خالص سازی.

همچنین گستردگی شدن پهنه‌ای نوار، در طیف رامان ظاهر می‌شود. با عنایت به طیفهای رامان نوعی به دست آمده داریم: $\bar{X} = 1355 \text{ cm}^{-1}$ و $X_1 = 1430 \text{ cm}^{-1}$ و $X_2 = 1280 \text{ cm}^{-1}$ که با قرار دادن مقادیر مذکور در فرمول پاشندگی گوسین فوق الذکر $= 75 \sigma$ و $= 176 \text{ cm}^{-1}$ FWHM به دست می‌آید. لازم به تذکر است که مقدار FWHM نanolوله‌های کربنی غیرآلاییده ثبت شده در این آزمایشگاه در گستره $10-14 \text{ cm}^{-1}$ می‌باشد.

نوار قوی دیگری که در طیف رامان نanolوله‌های کربنی آلاییده ظاهر می‌شود نوار D^{*} یا نوار فرکانس دویباره (ابر تون یا اورتون) و یا نوار M نام دارد که در نanolوله‌های کربنی آلاییده با افزایش غلظت بور، شدت این نوار کاهش می‌یابد. این موضوع با مقایسه طیف نanolوله‌های کربنی بدون آلایش که در این آزمایشگاه با روش نشست تبخیر شیمیایی (CVD) تولید گردید و در شکل (۴) نمایش داده شده است، مشخص می‌شود. نوار دیگری که در اعداد موجی پائین طیف رامان نanolوله‌های کربنی آلاییده ظاهر می‌شود نوار مدت نفسی شعاعی (RBM) نام دارد که نسبت عکس با قطر نanolوله کربنی دارد،

$$\omega_{\text{RBM}} = 248 / d$$

حضور نوار BWF در عدد موجی تقریبی 1570 cm^{-1} واضح و آشکار بوده و نشانگر این موضوع است که نمونه دارای خاصیت فلزی است. در طیف نanolوله‌های آلاییده شده نسبت $I_{\text{G-}} / I_{\text{G+}}$ جهت لوله شدن نanolوله را تعیین می‌کند که نسبت فوق در طیف مورد بحث برابر $8/8$ است. در صورت مقایسه این مقدار در طیفهای مختلف، تغییر جهت لوله شدن در نanolوله با تغییر نسبت مذکور نشان داده می‌شود. نوار دیگری که در طیف نanolوله‌های آلاییده ظاهر می‌شود نوار بی نظمی القایی یا نوار D نام دارد که در طیف شکل ۳ در عدد موجی 1340 cm^{-1} ظاهر شده است. این نوار به واسطه حضور آلایش و یا ناخالصی در ساختار شبکه‌ای نانولوله‌ها ظاهر می‌شود. با توجه به اینکه نوار D در نanolوله غیر آلاییده در حدود عدد موجی 1300 cm^{-1} ظاهر می‌شود، نشانگر این نکته است که در نanolوله‌های آلاییده به اتمهای بور، نوار D به سمت فرکانس‌های بالاتر منتقل می‌شود. همچنین پهنه‌ای نوار در نیمه بیشینه، نشانگر گستردگی این نوار در نanolوله آلاییده است. مقدار FWHM در نوار D تقریباً 176 cm^{-1} است که نشانگر گستردگی پهنه‌ای نوار D به واسطه بی نظمی القایی توسط حضور اتمهای بور است که به صورت افزایش شدت نوار D و



شکل ۴. طیف رامان نانولوله کربنی خالص سازی شده که به روش نشت بخار شیمیایی (CVD) تولید شده است.

جدول ۱. مقادیر جابه جایی هر یک از نوارهای نمونه نانولوله آلاییده نسبت به طیف بدون آلایش.

نوار	میزان جابه جایی نوار cm^{-1}
D	۴۰
G	۱۴
D^*	۱۱۱

آزمایشگاه ارائه شده است. از این اطلاعات نتیجه می‌گیریم که بیشترین تأثیر آلایش روی نوار D^* و D اعمال می‌شود [۵-۶].

حال به محاسبه نسبت شدت نوارها می‌پردازیم. در این حالت مقادیر شدت به دست آمده از طیفهای ثبت شده رامان به قرار زیر می‌باشند:

$I_D = ۳۳۹$ ، $I_G = ۳۱۹$ ، $I_{D^*} = ۲۰۹$ که با در نظر گرفتن شدت‌های مذکور، نسبتهای شدتی مورد علاقه به قرار زیر به دست می‌آیند:

$$I_G / I_D = ۱/۰۶ \quad \text{و} \quad I_D / I_{D^*} = ۱/۰۵$$

طیف شکل ۳ از نمونه خالص سازی شده که تحت جریان ۲۰۰ آمپر به دست آمده است ثبت گردیده است. برای روشن شدن موضوع مورد ادعا در شکل ۵ طیف رامان را که از نمونه

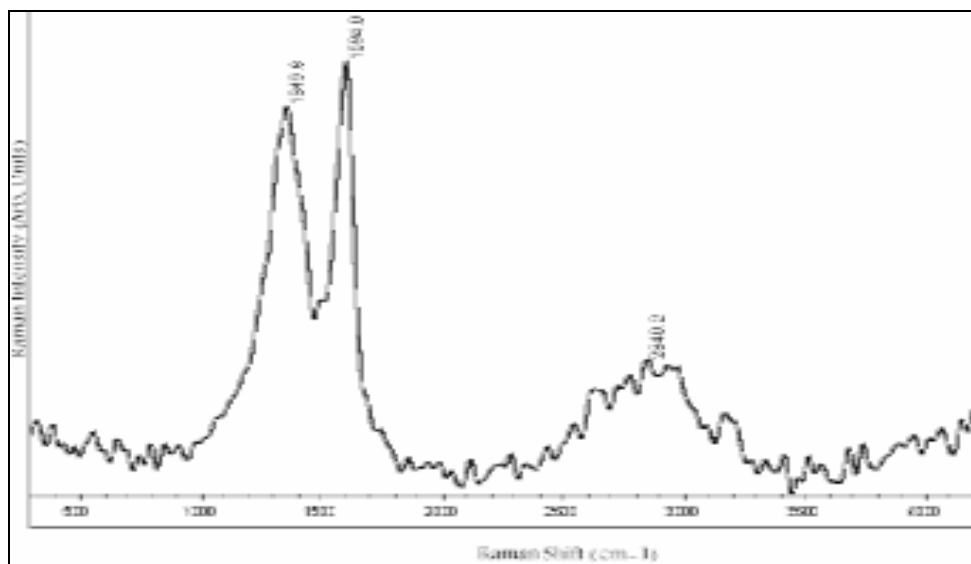
در طیف ارائه شده در شکل ۳ نوار RBM در عدد موجی 574 cm^{-1} ظاهر گردیده است، ولی در نانولوله‌های کربنی آلاییده به واسطه انحنای ایجاد شده از حضور آلایش، برای محاسبه دقیق قطر نانولوله کربنی از نوارهای G^+ و G^- که بر اساس رابطه زیر تعریف می‌شود، استفاده می‌شود.

$$\omega_{G^+} - \omega_{G^-} = ۷۹/۵ / d^3,$$

که واحد عدد $79/5$ بر حسب $\text{cm}^{-1}\text{nm}^3$ می‌باشد. لذا با توجه به طیف مورد بحث می‌توانیم به طور تقریبی قطر نانولوله کربنی را محاسبه کنیم.

$$d \approx ۱/۶ \text{ nm} \rightarrow ۷۹/۵ / d^3 = ۷۹/۵ - ۱۵۷۰ = ۱۵۹۶ \text{ nm}$$

لازم به تذکر است که رابطه فوق برای نانولوله‌های کربنی فلزی صادق است. همان طور که ذکر شد نوار D^* یا نوار اورتون با غلظت بور نسبت عکس دارد که در طیف مورد بحث در حدود عدد موجی 2681 cm^{-1} ظاهر شد و با توجه به طیف نانولوله کربنی غیرآلایشی تولید شده به روش تخلیه قوس الکتریکی که در آنها نوار مذکور در عدد موجی تقریبی 2570 cm^{-1} ظاهر می‌شود نشانگر انتقال نوار D^* به عدد موجهای بالاتر است. در جدول ۱ مقادیر جابه جایی هر یک از نوارهای مذکور در مقایسه با مقادیر موارد بدون آلایش انجام شده در این



شکل ۵. طیف نanolوله کربنی آلاییده به بور تولید شده در جریان ۱۸۰ آمپر که دو بار خالص سازی شده است.

جدول ۲. مقادیر جا به جایی هر یک نوارهای نمونه آلاییده به نسبت به نوار بدون آلایش در طیفهای رامان مربوطه.

نوار	جا به جایی نوار (cm^{-1})
D	۵۳
G	۱۴
D*	۱۱۹

طیفهای رامان به قرار زیر هستند:

$I_{G+} = ۱۵۹۶$, $I_D = ۴۳۹$, $I_D^* = ۳۶۷$, $I_G = ۴۶۷$, $I_{G-} = ۱۵۶۰$ و $I_{G+} = ۱۰۹۶$ که با در نظر گرفتن شدت‌های مذکور، نسبتهای شدتی مورد علاقه به قرار زیر هستند:

$I_G / I_{D^*} = ۱/۱۹$ و $I_D / I_G = ۰/۹$

$I_{G-} / I_{G+} = ۰/۹$ و $I_G / I_{D^*} = ۱/۲$

در گرافیت نسبت I_D / I_G به طور وارون با میزان گرافیتی شدن نمونه متناسب است. از مقایسه اطلاعات به دست آمده در دو طیف شرح داده شده متوجه می‌شویم که گرافیتی شدن نمونه در طیفهای (۳-۵) افزایش و غلظت عنصر بور در نمونه کاهش یافته است.

در ضمن جهت لوله شدن نanolوله با توجه به نسبت I_{G-} / I_{G+} در مقایسه با نسبت مذکور در نمونه اول تغییر چندانی

خالص سازی شده تحت جریان ۱۸۰ آمپر به دست آمده است را نیز ارائه می‌دهیم و به بررسی اجمالی آن می‌پردازیم. در طیف رامان شکل ۵ نوار D در عدد موجی 1350 cm^{-1} و نوار G در 1594 cm^{-1} ظاهر شده است. نوار G^+ به سمت فرکانس‌های بالاتر انتقال یافته که از 1590 cm^{-1} به 1594 cm^{-1} جابه جا شده است. همچنین وجود نوار BWF یا نوار G^- در منطقه طیفی 1540 cm^{-1} تا 1570 cm^{-1} ظاهر شده است که نشانه فلزی بودن نمونه است. در طیف فوق نوار D^* در عدد موجی 2840 cm^{-1} ظاهر می‌شود. با توجه به اطلاعات استخراج شده از طیف رامان، نanolوله‌های کربنی بدون آلایش و آلاییده، این حقیقت آشکار می‌گردد که نوارهای توصیف شده در نanolوله‌های کربنی آلاییده به سمت اعداد موجی بالاتر انتقال می‌یابند که خود دلیل بر صحبت انجام آزمایش مبنی بر حضور آلایش اتم بور به عنوان پذیرنده الکترون در نمونه است. در جدول ۲ مقادیر جا به جایی نوارهای توصیف شده نسبت به نوار متناظر در طیف بدون آلایش آورده شده است.

مجدداً به محاسبه نسبت شدت نوارها در طیف حاضر و با شرایط جدید پارامترهای فیزیکی اعمالی برای تولید نanolوله مربوطه می‌پردازیم. در این حالت مقادیر شدت ثبت شده از

حامن نانو لوله‌های کربنی آلاییده به عنصر سه ظرفیتی بور تهیه گردید. نمونه‌های تهیه شده پس از خالص‌سازی با استفاده از طیف سنجی پراکنده‌گی رامان مورد تجزیه و تحلیل قرار گرفت. نتایج به دست آمده در حالت کلی مؤید جابه‌جایی مدهای اصلی و حساس به رامان نانو لوله‌های کربنی آلاییده به عنصر بور به طرف اعداد موجی بالاتر می‌باشد. ظهرور مد BWF در بین مدهای D و G نشانگر فلزی بودن نانولوله‌های کربنی تهیه شده است و به علت آلایش شدت مد D افزایش می‌یابد.

نداشته است و در صد آلایش در نمونه دوم کاهش یافته است. نوار RBM در نمونه دوم در 574 cm^{-1} ظاهر شده و با استفاده از رابطه:

$$\omega_{G^+} - \omega_{G^-} = 79/5 / d^{\gamma}$$

مقدار قطر تقریبی نمونه برابر 4 nm به دست می‌آید. لذا نتیجه می‌گیریم که با افزایش غلظت میزان آلایش عنصر بور در نمونه میزان گرافیتی شدن کاهش می‌یابد.

۵. نتیجه‌گیری

با استفاده از روش تخلیه قوس الکتریکی جریان مستقیم و گازهای استیلن و نیتروژن به ترتیب عنوان گازهای منع کربن و

مراجع

- مقاله ۰۱۷، صفحات ۱۳۲-۱۲۹.
4. K McGuire, N Gothard, P L Gai, MS Dresselhaus, G Sumanasekera and A M Rao, *Carbon*, **43**, 2 (2005) 219-227.
 5. X Blasé, J C Charlier, A De Vita and R Car, *Physical Review Letters*, **83**, 24 (1999) 5078- 5081.

1. S Cui, et al., *Carbon*, **42**, 5-6 (2004) 931-939.
2. I Takesue, et al., *High-Tc Superconductivity in Entirely End-bonded Multiwalled Carbon Nanotubes*, <http://arxiv.org/ftp/cond-mat/papers/0509/0509466.pdf>
۳. ر. ملک فر و ه. اسدی، مقاله نامه دوازدهمین کنفرانس سالانه اپتیک و فوتونیک ایران، ۱۱ تا ۱۳ بهمن ۱۳۸۴، دانشگاه شیراز،